

V-416

FWD道路舗装評価に関する一動的解析手法

宮崎大学 (学) ○弓削 雄、(正) 横田 漢、(正) 出口近士

1. まえがき

著者らは以前、「地盤上スラブ理論」(D S G T)を用いたロードレイターによる舗装評価手法¹⁾を提案した。その後、ロードレイターが多用されてきたケンタッキー州における舗装設計手法にD S G Tを適用し、同州のオーバーレイ設計値と多数、比較することにより、D S G Tの適用性を確認した。それを踏まえてさらに、同州でのFWDたわみ測定特性とD S G Tを結びつけて、D S G TによるFWDオーバーレイ厚設計手法を開発した。ここに、それらの一端を報告するものである。

2. 解析方法と結果

2-1 D S G Tとそのロードレイターへの適用性: D S G Tは、地盤上スラブの表面に鉛直周期荷重が作用する場合の理論解であり、T_Aやフルデブス法などの概念を用いれば、ロードレイター(以降Rと略称)のような周期載荷装置に対してそのまま適用できる。すなわち、載荷振動数f、舗装部分の弾性係数E₁をパラメータとして、舗装たわみWが舗装厚T₀および路床の弾性係数E₀の関数で与えられるものである。オーバーレイ厚△Hの算定手法は、まずRRの2センサー点におけるたわみをW₀、W₁よりT₀とE₀を評価し、かかる後、E₀に対応する舗装厚T_aを通常の舗装設計法により求め、△H = T_a - T₀とするものである。

D S G Tをケンタッキー州の舗装設計手法に適用し、同州のオーバーレイ厚設計結果と比較したものを見図-1～3に示す。同図中、PROJC²⁾はこの間同州で用いられてきた設計法であり、KTCFLEX³⁾は最近開発されたより厳密な設計法である。D S G T(I)、D S G T(II)、D S G T(III)はそれぞれオーバーレイ厚設計ノモグラムを目およびコンピュータで読みとったもの、同ノモグラムを回帰曲線化して代数的に△Hを求めたものである。図-1はKY15号線のMARION地区の33測点における△Hの算定結果を測点に対して示したものである。図-2、3は他の道路に関する△Hの比較をPROJCを基準にして示している。これらの図より、D S G Tの適用性は十分に認められるといえる。

2-2 D S G TのFWDへの適用: FWDの衝撃荷重はケンタッキー州での記録によれば、15～35Hzの振動数をもつ正弦波の半周期分の波とみてよい。フーリエ級数における半区間展開の考え方を用いて、D S G Tの解をそのまま適用する。RRでは載荷振動数はf=25Hzで一定であり、また、たわみ測定時の温度は基準温度である70°Fに換算されるが、ここでは任意の温度、振動数に対してたわみを回帰曲線化することで△Hを求める。図-4は100°F、35HzにおけるW₀のE₀とT₀に対する変化状況を示すもので、T₀に関して回帰した図-5、6を参照すれば同たわみはW₀=aE₀+cT₀^dE₀(f+glnT₀)と表される。c、d、f、gは振動数や温度の関数であるが、これらについても回帰を行えば、結局、W₀、W₁は次式のように与えられる。

$$W_0 = A_1 + A_2 T_0 + A_3 E_0 + A_4 T_0 E_0$$

$$W_1 = B_1 + B_2 T_0 + B_3 E_0 + B_4 T_0 E_0$$

上式をT₀、E₀に関して解けば、RRと同様に△Hがえられることになる。

(参考文献)

- 1) 動的たわみ解析による道路舗装のオーバーレイ設計法、土木学会論文集No.433/V-15, pp.41～50, 1991
- 2) G.W.Sharpe, H.F.Southgate, and R.C.Deen, "Dynamic Pavement Deflections", ASCE, Vol.107, No. T E2, March, 1981.
- 3) R.C.Graves, and D.L.Allen, "Pavement Deflection Evaluations", Research Report KTC-90-XX, University of Kentucky, June, 1991.

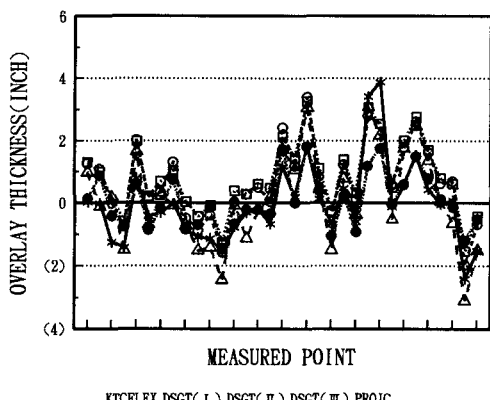


図1 $\triangle H$ の比較 (KY 15号, MARION)

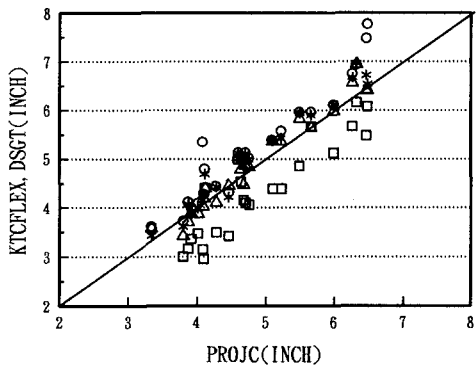


図2 $\triangle H$ の比較 (US 460号, JOHNSON)

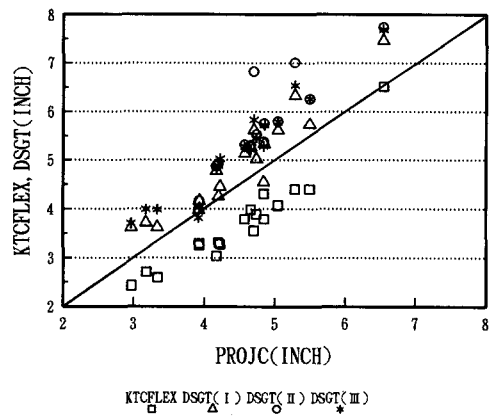


図3 $\triangle H$ の比較 (US 23号, FLOYD)

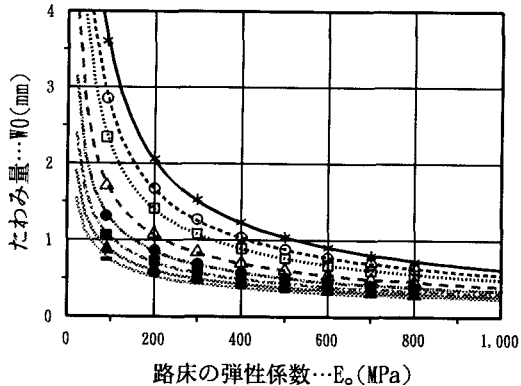


図4 鋪装厚T_oごとのたわみ量…W₀(35Hz, 100°F)
T_o=6cm T_o=8cm T_o=10cm T_o=14cm T_o=18cm T_o=22cm T_o=26cm T'=30cm

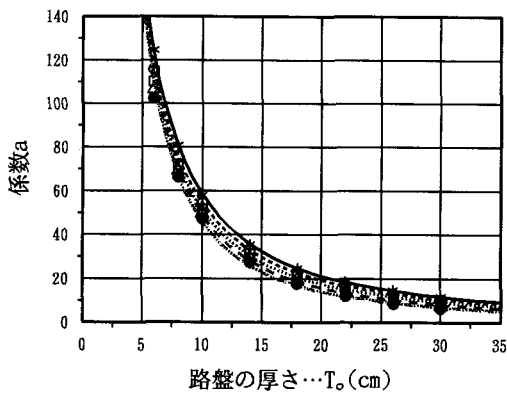


図5 たわみ曲線W₀=f(E_o)の係数aの回帰(100°F)

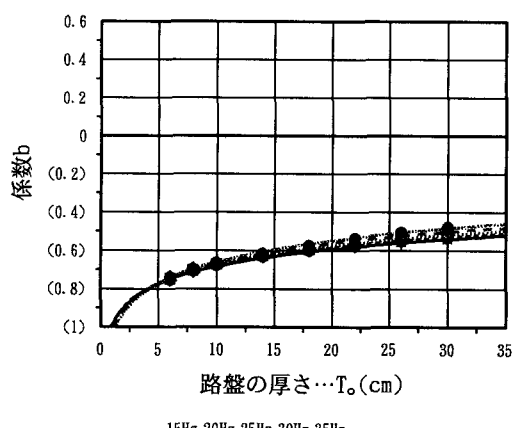


図6 たわみ曲線W₀=f(E_o)の係数bの回帰(100°F)